



(12)

CERERE DE BREVET DE INVENȚIE

(21) Nr. cerere: **a 2022 00130**

(22) Data de depozit: **17/03/2022**

(41) Data publicării cererii:
29/09/2023 BOPI nr. **9/2023**

(71) Solicitant:

- INSTITUTUL NAȚIONAL DE CERCETARE-DEZVOLTARE PENTRU ELECTROCHIMIE ȘI MATERIE CONDENSATĂ - INCEMC TIMIȘOARA, STR.DR.AUREL PĂUNESCU PODENAU NR.144, TIMIȘOARA, TM, RO;
- INSTITUTUL DE CHIMIE "CORIOLAN DRAGULESCU" AL ACADEMIEI ROMÂNE-ICT, STR.MIHAI VITEAZUL, NR.24, TIMIȘOARA, TM, RO

(72) Inventatori:

- BIRDEANU MIHAELA IONELA, STR.CARPAȚI, NR.30, AP.5, COMUNA GIROC, TM, RO;
- EPURAN CAMELIA MARIA, NR.25, SAT BÎLVĂNEȘTI DE JOS, COMUNA BÎLVĂNEȘTI, MH, RO;
- FRATILESCU ION, STR.GĂRII, NR.18, TISMANA, GJ, RO;
- FAGADAR- COSMA EUGENIA-LENUȚA, STR. DROPIEI NR. 1, AP. 8, TIMIȘOARA, TM, RO

(54) **PROCEDEU DE OBȚINERE DE INHIBITORI DE COROZIUNE ORGANIZAȚI ÎN STRATURI SUBȚIRI ALTERNATIVE DE PORFIRINE SUBSTITUITE CU GRUPĂRI CARBOXIL ȘI OXID PSEUDO-BINAR DE TIP $MnTa_2O_6$ REALIZATE PRIN TEHNICA PLD**

(57) Rezumat:

Invenția se referă la un procedeu de inhibare a coroziunii echipamentelor din oțel carbon expuse în timpul funcționării la medii agresive acide din domeniul medical și tehnic. Procedeul, conform inventiei, constă în etapele: depunere prin tehnicii laser PLD a unui film de oxid pseudo-binar $MnTa_2O_6$, obținut prin metoda din stare solidă sau hidrotermală, depunere pe suprafața oxidului porfirinelor grefate cu grupări COOH, de tip 5,

10-(4-carboxifenil)-15, 20-(fenoxi-fenil)-porfirina sau 5-(4-carboxi-fenil)-10, 15, 20-trifenil-porfirina, rezultând un film aderent având o grosime de 60...80 µm, uniform, aderent și rezistent la stres mecanic, cu o eficiență de inhibare a coroziunii în medii acide de 60...97% față de oțelul carbon neprotejat.

Revendicări: 1

Cu începere de la data publicării cererii de brevet, cererea asigură, în mod provizoriu, solicitantului, protecția conferită potrivit dispozițiilor art.32 din Legea nr.64/1991, cu excepția cazurilor în care cererea de brevet de inventie a fost respinsă, retrasă sau considerată ca fiind retrasă. Întinderea protecției conferite de cererea de brevet de inventie este determinată de revendicările conținute în cererea publicată în conformitate cu art.23 alin.(1) - (3).



OFICIUL DE STAT PENTRU INVENTII SI MARCI
Cerere de brevet de inventie
a 2022 00130
Nr.
Data depozit 17 -03- 2022

51

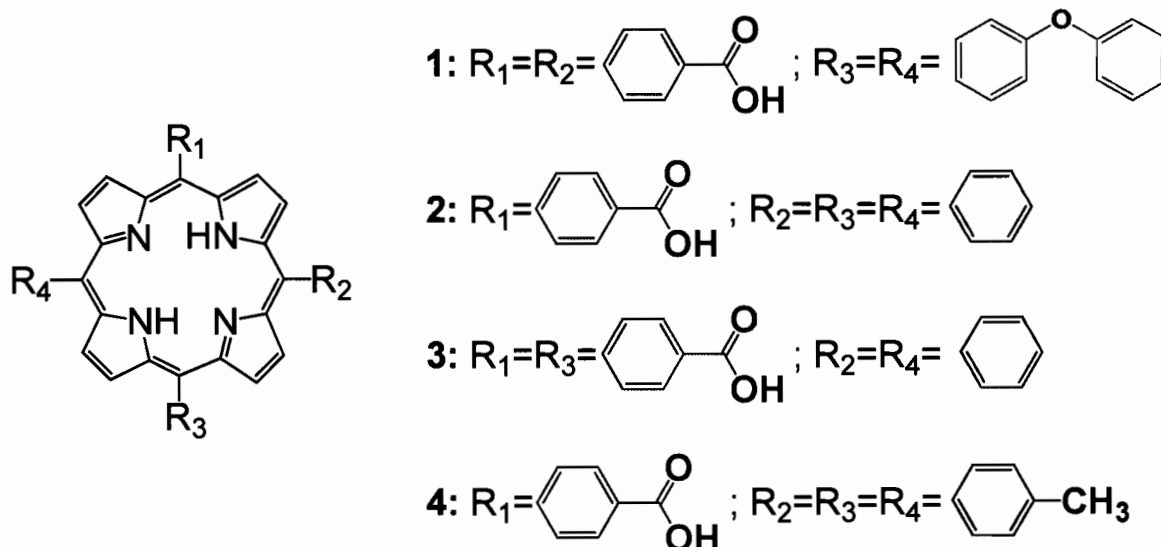
Procedeu de obținere de inhibitori de coroziune organizați în straturi subțiri alternative de porfirine substituite cu grupări carboxil și oxid pseudo-binar de tip MnTa₂O₆, realizate prin tehnica PLD

Invenția se referă la un procedeu de inhibare a coroziunii oțelurilor carbon (Fe = 85 - 99 %) de tipul: AISI 1144; X10CrMoVNb9 1; 1.4034 / AISI 420 / X46Cr13; 316L; N80; J55; ASTM A606-4; S01r prin aplicarea pe suprafața acestora de straturi subțiri formate din porfirine substituite cu grupări carboxil și MnTa₂O₆ și obținute prin diferite tehnici de depunere nedestructive.

În general, inhibarea coroziunii este data atât de acțiunea sinergică dintre oxidul pseudo-binar și porfirine cat și de modul de realizare a filmelor subțiri prin selectarea tehnicielor de depunere și își găsește aplicabilitate în diferite domenii de activitate, cum ar fi: domeniul medical pentru instrumente chirurgicale mici (pensete, foarfece); mecanica fină (scule de tăiere, discuri de frână, componente pompe, turbine, rulmenți, plăci de presare, patine).

Derivații porfirinici reprezintă o clasa de compusi tetrapirolici naturali sau de sinteza, renomati pentru proprietatile lor optoelectronice și versatilitatea lor chimică, care le promovează pentru aplicații în senzoristica [E. Fagadar-Cosma, D. Vlascici, M. Birdeanu, G. Fagadar-Cosma, Novel fluorescent pH sensor based on 5-(4-carboxy-phenyl)-10,15,20-tris(phenyl)-porphyrin, Arabian Journal of Chemistry, 12, (7), 2019, 1587-1594, <https://doi.org/10.1016/j.arabjc.2014.10.011>] [R. Paolesse, S. Nardis, D. Monti, M. Stefanelli, C. Di Natale, Porphyrinoids for Chemical Sensor Applications, Chem. Rev. 117, 2017, 2517–2583, DOI: 10.1021/acs.chemrev.6b00361] cataliză [C. A. Mak, M. A. Pericasa, E. Fagadar-Cosmac, Functionalization of A₃B-type porphyrin with Fe₃O₄ MNPs. Supramolecular assemblies, gas sensor and catalytic applications, Catalysis Today, 306, 2018, 268-275, <https://doi.org/10.1016/j.cattod.2017.01.014>] [X. Yu, H. Su, X. Zheng, W. Liu, Y. He, N. Fei, R. Qiao, Y. Ren, C. Niu, A new A3B zinc(II)-porphyrin ligand and its ruthenium(II) complex: Synthesis, photophysical properties and photocatalytic applications, Journal of Molecular Structure, 1237, 2021, 130358, <https://doi.org/10.1016/j.molstruc.2021.130358>] și medicina [M. S. Hasanin, M. Abdelraof,

M. Fikry, Y.M. Shaker, A.M.K. Sweed, M.O. Senge, Development of Antimicrobial Laser-Induced Photodynamic Therapy Based on Ethylcellulose/Chitosan Nanocomposite with 5,10,15,20-Tetrakis(*m*-Hydroxyphenyl)porphyrin. *Molecules* 26, 2021, 3551. <https://doi.org/10.3390/molecules26123551> [M. O. Senge , N. N. Sergeeva, K. J. Hale, Classic highlights in porphyrin and porphyrinoid total synthesis and biosynthesis, *Chem. Soc. Rev.*, 50, 2021, 4730-4789, DOI: 10.1039/c7cs00719a], dar care s-au dovedit a fi totodata si exceptionali inhibitori de coroziune [M. Birdeanu, C. Epuran, I. Fratilesco, E. Fagadar-Cosma, Structured Thin Films Based on Synergistic Effects of MnTa₂O₆ Oxide and bis-Carboxy-phenyl-substituted Porphyrins, Capable to Inhibit Steel Corrosion. *Processes* 9, 2021, 1890.<https://doi.org/10.3390/pr9111890>] [O.Y. Grafov, L. P. Kazansky, REVIEW ON PORPHYRINS, PHTHALOCYANINES AND THEIR DERIVATIVES AS CORROSION INHIBITORS, *INTERNATIONAL JOURNAL OF CORROSION AND SCALE INHIBITION*, 9, (3), 2020, 812-829, DOI:[10.17675/2305-6894-2020-9-3-2](https://doi.org/10.17675/2305-6894-2020-9-3-2)]. **Grupa functională COOH** este strategic aleasa pentru a asigura o usoara **crestere a hidrofilicitatii**, pentru a asigura **realizarea de legaturi de hydrogen** intre moleculele de porfirina si a crea astfel aggregate moleculare extinse, dar si pentru a crea **legaturi cu metalele constitutive ale otelurile acoperite**. Au fost utilizate porfirine mixte de tip A₃B, A₂B₂ si A₄ cu o grupare COOH, doua grupari COOH si patru grupari COOH, dupa cum urmeaza: 5,10-(4-carboxi-fenil)-15,20-(fenoxi-fenil)-porfirina; 5-(4-carboxi-fenil)-10,15,20-trifenil-porfirina; *trans* 5,15-(4-carboxi-fenil)-10,20-di-fenil-porfirina; 5-(4-carboxi-fenil)-10,15,20-tris-(4-metil-fenil)-porfirina.



Schema 1

Strura generala a porfirinelor carboxi substituite utilizate in studiile de coroziune este prezentata in Schema 1

Este de asemenea de mare importanta tehnica studiul proprietatilor de auto-asamblare si auto-organizare a moleculelor de porfirina, in contextul efectelor induse de diferentele de substituire a moleculelor. Arhitecturile supramoleculare care se creaza prin interactiuni van Der Waals, de hidrogen sau hidrofobice intre moleculele porfirinice au ca principale caracteristici uniformitatea morfologica si topografica a stratului subtire, aderenta lui la substrat si rezistenta fizica si chimica la agentii de coroziune, aspecte ce determina nivelul performantelor de inhibare a coroziunii [A. Nyga, D. Czerwinska-Głowka, M. Krzywiecki, W. Przystas, E. Zabłocka-Godlewska, S. Student, M. Kwoka, P. Data, A. Blacha-Grzechnik, Covalent Immobilization of Organic Photosensitizers on the Glass Surface: Toward the Formation of the Light-Activated Antimicrobial Nanocoating, Materials, 14, 2021, 3093. <https://doi.org/10.3390/ma14113093>].

Pe de alta parte, inhibitorii biomimetici de coroziune agreati de chimia sustenabila, categorie din care fac parte si porfirinele, sunt preferati datorita principiilor lumii moderne care limiteaza utilizarea inhibitorilor toxic sau bazati pe metale rare sau nobile [Manssouri, M., Znini, M., Lakbaibi, Z. et al. Experimental and computational studies of perillaldehyde isolated from *Ammodaucus leucotrichus* essential oil as a green corrosion inhibitor for mild

steel in 1.0 M HCl. Chem. Pap. 75, 2021, 1103–1114 <https://doi.org/10.1007/s11696-020-01353-5>] [J. Aslam, R. Aslam, S. H. Alrefae, M. Mobin, A. Aslam, M. Parveen, C. M. Hussain, Gravimetric, electrochemical, and morphological studies of an isoxazole derivative as corrosion inhibitor for mild steel in 1M HCl, Arabian Journal of Chemistry, 13, 11, 2020, 7744-7758, <https://doi.org/10.1016/j.arabjc.2020.09.008>].

Oxizii pseudo-binari reprezintă o clasa de materiale des întâlnita pentru protecția otelurilor împotriva coroziunii [M. Birdeanu, M. Vaida, E. Fagadar-Cosma, Hydrothermal synthesis of ZnTa₂O₆, ZnNb₂O₆, MgTa₂O₆ and MgNb₂O₆ pseudo-binary oxide nanomaterials with anticorrosive properties, Manufacturing Rev. 7, 2020, 39, <https://doi.org/10.1051/mfreview/2020037>]. Nanomaterialele de tipul oxizilor pseudo-binari MnTa₂O₆ care au fost utilizate pentru studiile privind proprietățile lor de inhibare a coroziunii, au fost obținute utilizând metode de sinteza alternative, și anume: metoda de sinteza din stare solidă, precum și metoda de sinteza hidrotermală, fiecare aducând modificări specifice de organizare cristalina.

Dezideratul major al cercetării actuale este de a realiza materiale noi, necostisoare, prietene cu mediul, cu eficiență de inhibare a coroziunii prin:

1. propunerea ca substituent al porfirinelor a grupărilor funcționale COOH pentru a asigura realizarea de legături de hydrogen între moleculele de porfirina, dar și pentru a crea legături cu metalele prezente în otelurile acoperite simultan cu alegerea numărului de grupuri COOH grefate pe aceeași structură
2. selectia oxidului pseudo-binar în funcție de metoda de obținere (din stare solidă sau hidrotermală)
3. alegerea tipului de depunere laser, PLD, care este nedestructiv și asigura depunerii mono și multistrat uniforme

Ca materiale cu funcție de inhibitori de coroziune propuse mai recent pe plan mondial, amintim 5,10,15,20-tetra(4-piridil)-21H,23H-porfirina depusă pe otel N80 prin metoda drop-casting, testată în mediu salin 3.5% NaCl, având un grad de inhibare a coroziunii (IE %) de 91% [J. Wang, Y. Lin, A. Singh, W. Liu, Investigation of some Porphyrin Derivatives as Inhibitors for Corrosion of N80 Steel at High Temperature and High Pressure in 3.5% NaCl

solution containing carbon dioxide, Int. J. Electrochem. Sci., 13, 2018, 11961 – 11973, doi: 10.20964/2018.12.52] dar si un material compozit polianilină/Zn-porfirină depusa pe otel 303SS prin tehnica „spray gun”, testat in mediu acid 1.0 M H₂SO₄, avand un grad de inhibare a coroziunii de 99, 41% [M. A. Deyab, G. Mele, Stainless steel bipolar plate coated with polyaniline/Zn-porphyrin composites coatings for proton exchange membrane fuel cell, Sci Rep. 10, 2020, 3277, <https://doi.org/10.1038/s41598-020-60288-9>]. Mecanismul de inhibare a coroziunii se realizeaza prin acoperirea suprafetelor cu straturi subtiri de porfirine obtinandu-se straturi netede, cu porozitate mica, extrem de aderente la suprafata metalelor / otelurilor care creaza o bariera mecanica protectoare la interfata cu agentii corozivi.

Datorita prezentei grupariilor COOH in pozitia *trans*, 5,15-(4-carboxi-fenil)-10,20-(fenil)-porfirina, au fost create conditiile de agregare supramoleculara continua si extinsa, si a fost protejata mai bine suprafata otelului [M. Birdeanu, C. Epuran, I. Fratilescu, E. Fagadar-Cosma, Structured Thin Films Based on Synergistic Effects of MnTa₂O₆ Oxide and bis-Carboxy-phenyl-substituted Porphyrins, Capable to Inhibit Steel Corrosion. Processes, 9, 2021, 1890.<https://doi.org/10.3390/pr9111890>] decat de catre porfirina cu gruparile COOH in pozitia *cis*, care este organizata in pelicule poroase, demonstrandu-se astfel importanta efectului pozitiei si al numarului de grupari COOH, dar si de conformatia lor spatiala diferita. Mecanismul de inhibare a coroziunii otelului carbon s-a datorat protecției fizice cauzata de straturile compacte si aderente realizate de catre cele doua porfirine bi-substituite. Acest efect de bariera mecanica se datoreaza formatiunilor triunghiulare, respectiv inelare formate in procesele de agregare de tip J si H mult mai uniform depuse, sub forma de acoperis de sindrila in cazul *trans*-porfirinei decat in cazul *cis*-porfirinei, care agrega sub forma elicoidala, iar inelele mici generate se unesc, lăsând spatiu pentru pori, care pot forma locuri de contact intre acid si suprafata otelului carbon, fiind puncte de initiere a coroziunii in puncte (pitting). Arhitecturile supramoleculare sunt rezistente chimic la mediul acid, bocand contactul direct dintre otel si mediul coroziv [Singh, A.; Lin, Y.; Quraishi, M.A.; Olasunkanmi, L.O.; Fayemi, O.E.; Sasikumar, Y.; Ramaganthan, B.; Bahadur, I.; Obot, I.B.; Adekunle, A.S.; et al. Porphyrins as Corrosion Inhibitors for N80 Steel in 3.5% NaCl Solution: Electrochemical, Quantum Chemical, QSAR and Monte Carlo Simulations Studies. Molecules 20, 2015, 15122–15146, <https://doi.org/10.3390/molecules200815122>]. [Zhang, Y.; Yang, C.; Zhao, L.; Zhang, J. Study on the Electrochemical Corrosion Behavior of 304 Stainless Steel in Chloride Ion Solutions. Int. J. Electrochem. Sci. 16, 2021, 210251].

Înținând cont de numărul de grupări funcționale COOH ale porfirinei, s-a evidențiat faptul că se realizează o mai bună acoperire a suprafeței de oțel carbon dacă se folosesc porfirine substituite cu o singură grupare COOH, caracterizată printr-o aderență mai bună și nu conțineaza ordinea de depunere oxid/porfirina în cazul depunerilor multistrat [M. Birdeanu, A.-V. Birdeanu, I. Fratilesco, E. Fagadar-Cosma, Diminishing of steel corrosion in acid environment using thin bi-layer surfaces of mono-carboxyl-substituted A_3B porphyrin and $MnTa_2O_6$. NANOCON 2021, Conference Proceedings, 13th International Conference of Nanomaterials – Research & Application, 2021, Brno, Czech Republic, EU.-lucare acceptata]. Dacă se compara doar straturile individuale depuse cu cele două porfirine, există o mare diferență de protecție realizată, și anume 5-(4-carboxi-fenil)-10,15,20-tris-fenil-porfirina are o eficiență de inhibiție de 83,7%, semnificativ mai mare decât cea de 76,2% realizată de porfirina substituită cu patru grupe funktionale COOH, tetrakis-(4-carboxi-fenil) porfirina. Prezența a patru grupari COOH modifică echilibrul hidrofil și s-ar putea exfolia de pe suprafața oțelului carbon sau poate crea un strat convex, permitând mediilor agresive să intre în contact cu oțelul carbon.

Pe plan național grupul nostru de cercetare este singurul din țara care se ocupă cu perechi de materiale hibride (porfirine / oxizi pseudo-binari) cu proprietăți de inhibare a coroziunii. Cercetările efectuate până în prezent sunt focalizate pe obținerea de structuri biomimetice de porfirine și de oxid și pe obținerea de straturi mixte de tip sandwich, depuse pe oțeluri carbon prin metodele consacrate: drop-casting cu un domeniu al inhibării coroziuni (IE %) de 60.40 – 91.76 % [M. Birdeanu, C. Epuran, I. Fratilesco, E. Fagadar-Cosma. Structured Thin Films Based on Synergistic Effects of $MnTa_2O_6$ Oxide and bis-Carboxy-phenyl-substituted Porphyrins, Capable to Inhibit Steel Corrosion. Processes 9 (11), 2021, 1890. <https://doi.org/10.3390/pr9111890>], precum și metode performante PLD, MAPEL și PLD combinat cu MAPLE (MAPLE / PLD sau PLD / MAPLE) cu domeniul de inhibare a coroziuni cuprins între 59.25 – 83.74% [M. Birdeanu, I. Fratilesco, C. Epuran, A. C. Murariu, G. Socol, E. Fagadar-Cosma, Efficient decrease of corrosion of steel in 0.1M HCl medium realized by its covering with thin layers of $MnTa_2O_6$ and porphyrins using suitable laser type approaches, Nanomaterials – trimisa spre publicare]. Limitarea pierderilor de oțel datorate coroziunii este de mare importanță atât din punct de vedere economic cât și pentru protecția mediului. Introducerea unui compus profirinic cu grupari COOH, deasupra filmului de oxid pseudo-binar influențează porozitatea și organizarea uniformă a acestuia pesuprafata oțelului

și poate ajuta la creșterea gradului de inhibare a coroziunii. De asemenea, tehnica de obtinere a acestor filme subtiri are relevanta pentru morfologia filmelor realizate.

Problema tehnică pe care o rezolvă invenția este de a reduce, cu peste 60% și pana la 97 %, viteza de coroziune a oțelurilor carbon în medii agresive acide de 0.1M HCl, prin selectia celor mai adecvate tehnici de depunere a straturilor dublu protectoare și utilizând materiale compozite formate din porfirine substituite cu grupări COOH și oxid pseudo-binar obținut, la randul lui, prin diferite metode de sinteza.

Prezenta invenție folosește **pentru prima data** în mod sistematic porfirine substituite cu una pana la patru grupari functionale COOH și MnTa₂O₆, depuse prin realizarea tuturor combinatiilor posibile prin tehnici nedestructive.

Invenția poate fi exploatată industrial pentru a inhiba coroziunea echipamentelor expuse în timpul funcționării la mediu acid, la temperatură camerei, pentru un timp indelungat, fără a necesita protecție suplimentară, prin utilizarea de materiale compozite organic/anorganice (porfirine cu grupari COOH și oxidul pseudo-binar MnTa₂O₆, obținut prin două metode diferite) cat și prin modul de realizare a acestor filme subtiri prin tehnici PLD.

Soluția propusă în această invenție, și anume filme subțiri utilizate pentru instrumente chirurgicale mici (pensete, foarfece), și mecanica fină (scule de tăiere, discuri de frână, componentele pompelor, turbine, rulmenți, plăci de presare, patine) are utilitate în domeniul medical și tehnic .

Utilizarea filmelor protectoare de tip sandwich formate din oxid pseudo-binar / porfirina grefata cu grupări COOH ca material de acoperire, sau invers, pentru protecția anticorozivă a oțelurilor carbon are o serie de avantaje cum ar fi:

- realizarea în condiții controlate, cu mare precizie a grosimii filmelor (circa 60-80 μm);
- preț de cost scăzut: atât porfirinele cat și oxiziile pseudo-binari se folosesc în cantități foarte mici, 1g/m² suprafața otel;
- calitatea uniformă, continuă și aderentă multistratului realizat;
- stabilitatea fizico-chimica și la stress mecanic a straturilor protectoare.
- realizarea unei eficiente de inhibare a coroziunii de peste 60% și pana la 97%, fata de otelul neprotejat

Se dă în continuare câteva exemple de realizare a unor straturi mixte de oxid pseudo-binăr $MnTa_2O_6$ / porfirine substituite cu grupări COOH pentru inhibarea coroziunii oțelurilor carbon care sunt expuse mediilor corozive acide.

Experimentele electrochimice au fost realizate cu ajutorul unui potențiosstat VoltaLab 80 (Model PGZ-402) echipat cu softul VoltaMaster 4 v.7.09, care permite prelucrarea curbelor Tafel și determinarea potențialului de coroziune, a intensității curentului de coroziune și a vitezei de coroziune (Tabelul 1 și 2). Sunt prezentate: potențialul electrodului în circuit deschis (Figurile 1 și 3), curbe de polarizare și reprezentarea Tafel (Figurile 2 și 4).

Exemplul 1.

Un strat dublu protector a fost realizat prin depunerea, în prima etapa, a filmului de oxid pseudo-binăr $MnTa_2O_6$ obținut prin metoda din stare solidă (5-6 mg de oxid pseudo-binăr pentru o suprafață de 35 cm^2 otel carbon (X10CrMoVNb91)), prin tehnica PLD, folosind un dispozitiv laser cu corp solid combinat cu o cameră de vid (presiunea de lucru din cameră a fost de $1.6 - 1.2 \times 10^{-6}$ mbar). Parametrii caracteristici de depunere au fost: timpul de depunere pentru un strat de 30-60 s, pulsurile de energie de $E_p = 30-10\text{ mJ}$, durata pulsurilor de 130-150 ps la frecvența de 15-10 Hz. Distanța de la lentile la suprafața probei este de 168 - 171 mm.

În etapa a doua se depune peste stratul de oxid, 5,10-(4-carboxifenil)-15,20-(fenoxi-fenil)-porfirina, folosind aceleasi condiții, dar utilizand numai 3-5 mg de porfirina.

Rezistența la coroziune a oțelului protejat cu dublul strat a fost îmbunătățită prin adsorbția materialului organic, 5,10-(4-carboxifenil)-15,20-(fenoxi-fenil)-porfirina, pe suprafața oxidului pseudo-binăr. Din înregistrarea profilelor OCP s-a remarcat stabilizarea acestora pentru electrodul modificat după un timp de aproximativ 100 s precum și deplasarea potențialelor acestora spre valori mai pozitive comparativ cu profilul OCP al OL (Figura 2). În aceste condiții, viteza de coroziune a oțelului este de 0.182 mm/an pentru $MnTa_2O_6$ (obținut prin metoda din stare solidă) / (5,10-(4-carboxifenil)-15,20-fenoxifenil-porfirina), ceea ce înseamnă o eficiență de inhibare a coroziunii de 97.53 % prin comparație cu oțelul carbon neprotejat.

Exemplul 2.

Folosind aceleasi conditii de realizare descrise in exemplul 1, dar depunerea primului strat s-a realizat folosind oxidul pseudo-binar $MnTa_2O_6$ obtinut prin metoda hidrotermala iar cel de-al doilea strat a fost obtinut folosind 5-(4-carboxi-fenil)-10,15,20-trifenil-porfirina. Din inregistrarea profilelor OCP s-a remarcat stabilizarea acestora pentru electrodul modificat dupa un timp de aproximativ 250 s precum si deplasarea potentiilor acestora spre valori mai pozitive comparativ cu profilul OCP al OL (Figura 4). În aceste conditii viteza de coroziune a oțelului este de 0.197 mm/an, pentru $MnTa_2O_6$ (obtinut prin metoda hidrotermala) / 5-(4-carboxi-fenil)-10,15,20-trifenil-porfirina, rezultand o eficienta de inhibare a coroziunii de 95.42 % .

42

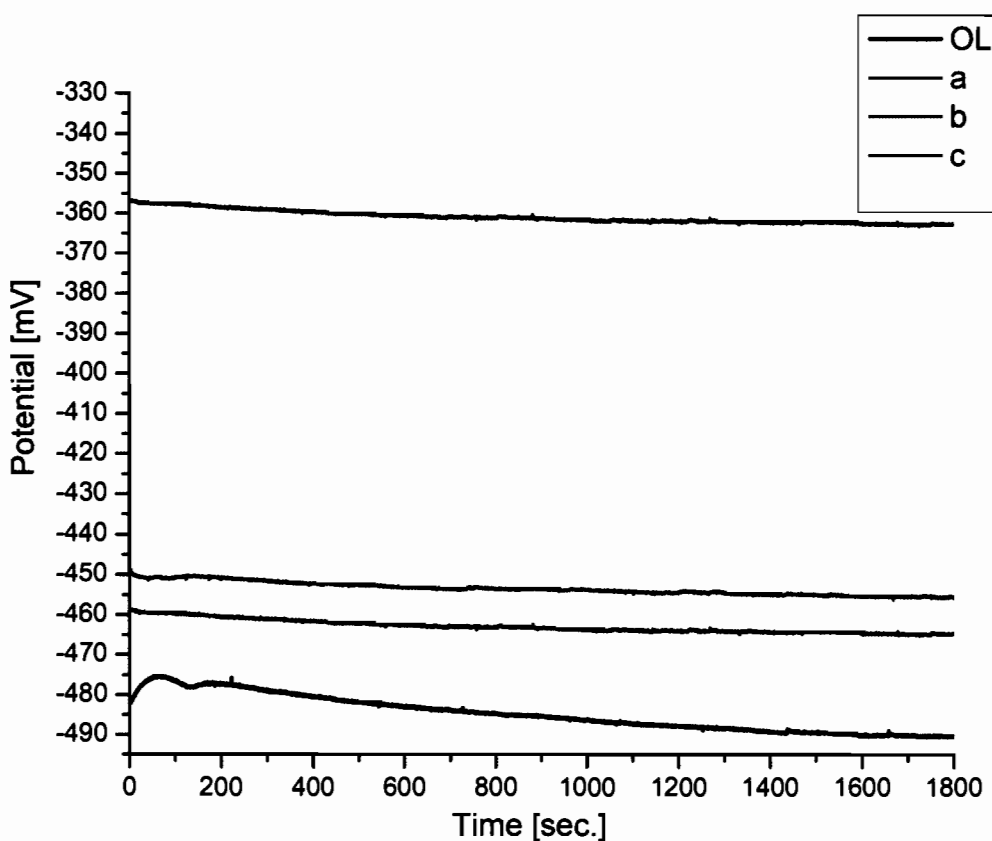


Figura 1. Stabilizarea potențialului electrodului în circuit deschis pentru : electrodul de otel OL; a) MnTa_2O_6 obținut prin metoda din stare solidă; b) 5,10-(4-carboxifenil)-15,20-(fenoxi-fenil)-porfirina; c) $\text{MnTa}_2\text{O}_6 / 5,10-(4\text{-carboxifenil})-15,20\text{-(fenoxi-fenil)}\text{-porfirina}$

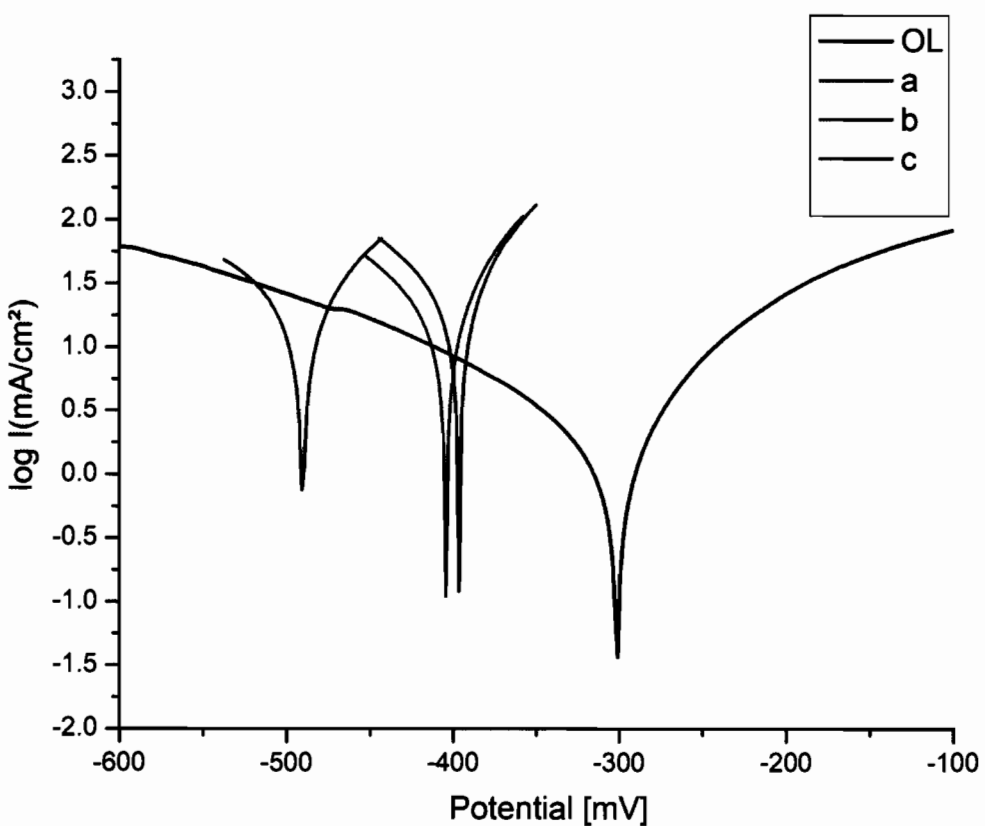


Figura 2. Reprezentarea Tafel a curbelor de polarizare pentru: electrodul de otel OL; a) MnTa_2O_6 obtinut prin metoda din stare solidă; b) 5,10-(4-carboxifenil)-15,20-(fenoxi-fenil)-porfirina; c) $\text{MnTa}_2\text{O}_6 / 5,10-(4\text{-carboxifenil})-15,20\text{-(fenoxi-fenil)-porfirina}$

Tabel 1 Parametrii electrochimici ai procesului de inhibare a coroziunii in mediu acid, 0.1 M HCl, de catre electrozii de otel modificati prin depunere PLD de straturi de MnTa₂O₆ obtinut prin metoda din stare solida si 5,10-(4-carboxifenil)-15,20-(fenoxi-fenil)-porfirina

Electrode	E (I = 0) (mV)	R _p (Ωxcm ²)	i _{corr} (mA/cm ²)	β _a (mV)	β _c (mV)	v _{corr} (mm/an)	IE (%)
OL	-410.5	194.55	0.6348	254.5	-387.4	7.424	-
MnTa ₂ O ₆ (s)	-399.7	77.88	0.1474	52.1	-87.7	1.724	76.78
5,10-(4-carboxifenil)-15,20-fenoxifenil-porfirina	-396.6	57.13	0.2011	56.1	-87.3	2.351	68.32
MnTa ₂ O ₆ (s) / 5,10-(4-carboxifenil)-15,20-fenoxifenil-porfirina	-490.4	813.72	0.0156	71.2	-93.3	0.182	97.53

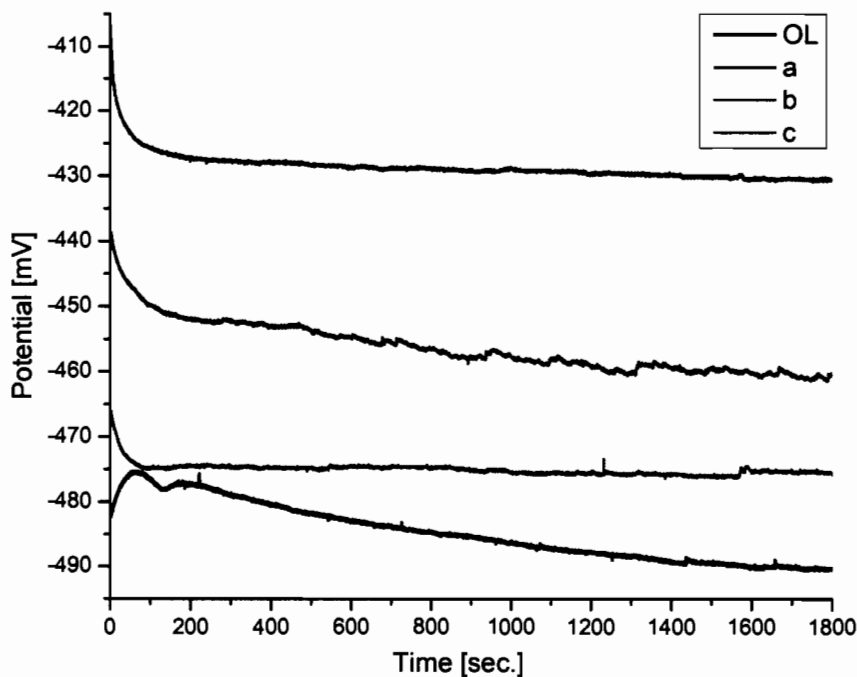


Figura 3. Stabilizarea potențialului electrodului în circuit deschis pentru : electrodul de otel OL; a) MnTa_2O_6 obținut prin metoda hidrotermală; b) 5-(4-carboxi-fenil)-10,15,20-trifenil-porfirina; c) MnTa_2O_6 / 5-(4-carboxi-fenil)-10,15,20-trifenil-porfirina

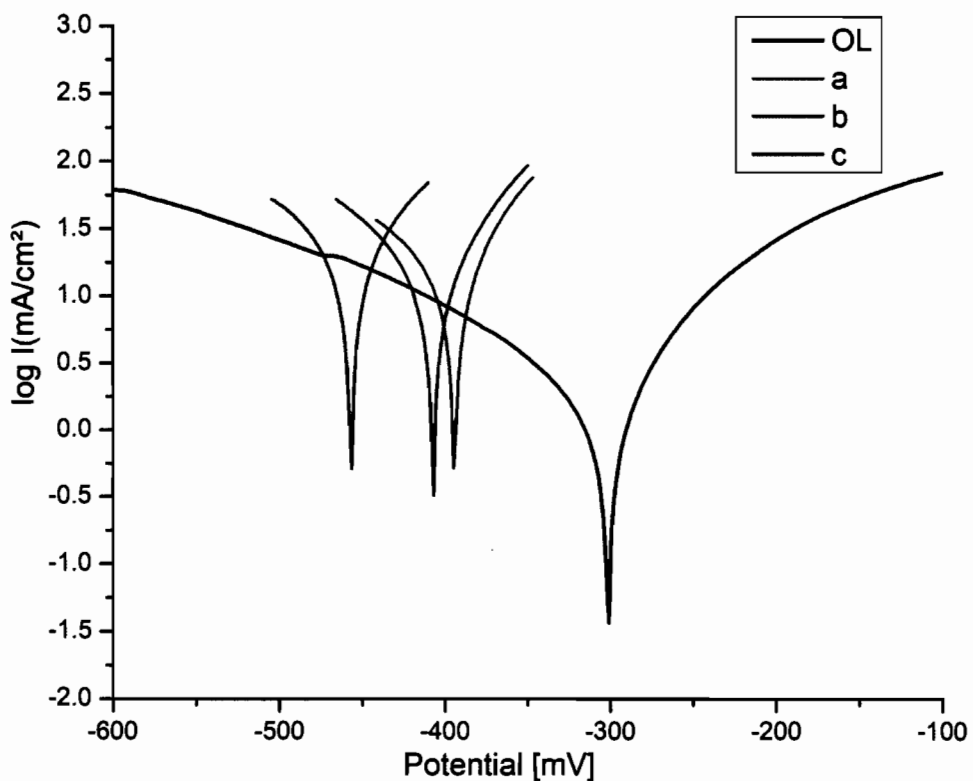


Figura 4. Reprezentarea Tafel a curbelor de polarizare pentru: electrodul de otel OL; a) MnTa_2O_6 obtinut prin metoda hidrotermala; b) 5-(4-carboxi-fenil)-10,15,20-trifenil-porfirina; c) MnTa_2O_6 / 5-(4-carboxi-fenil)-10,15,20-trifenil-porfirina

Tabel 2 Parametrii electrochimici a procesului de inhibare a coroziunii in mediu acid, 0.1 M HCl, de catre electrozii de otel modificati prin depunere PLD de straturi de MnTa₂O₆, obtinut prin metoda hidrotermala si 5-(4-carboxi-fenil)-10,15,20-trifenil-porfirina

Electrode	E (I = 0) (mV)	R _p (Ωxcm ²)	i _{corr} (mA/cm ²)	β _a (mV)	β _c (mV)	v _{corr} (mm/an)	IE (%)
OL	-410.5	194.55	0.6348	254.5	-387.4	7.424	-
MnTa ₂ O ₆ (h)	-394.4	65.95	0.1939	58.6	-98.6	2.268	69.45
5-(4-carboxifenil)-10,15,20-trifenil-porfirina	-407.4	110	0.1406	69.3	-102.8	1.645	77.84
MnTa ₂ O ₆ (h) / 5-(4-carboxifenil)-10,15,20- trifenil-porfirina	-480.9	488.42	0.0290	88.4	-130.7	0.197	95.42



REVENDICĂRI

1. Serie de materiale compozite, pe bază de oxid pseudo-binar MnTa₂O₆, obținut prin metoda hidrotermală și una dintre porfirinele substituite cu grupuri funktionale COOH: 5,10-(4-carboxi-fenil)-15,20-(fenoxi-fenil)-porfirina, 5-(4-carboxi-fenil)-10,15,20-trifenil-porfirina, *trans* 5,15-(4-carboxi-fenil)-10,20-di-fenil-porfirina sau 5-(4-carboxi-fenil)-10,15,20-tris-(4-metil-fenil)-porfirina, depuse în straturi mixte pe oteluri carbon, cu capacitate mare de protecție a coroziunii în medii acide și eficiență de inhibare a coroziunii cuprinsă între 60-97 %, caracterizată prin aceea că sunt realizate acoperiri uniforme (60-80 µm), aderente și rezistente la stress mecanic, prin tehnica laser PLD.